

01;03

## О нелинейных поправках к частотам осцилляций заряженной капли в несжимаемой внешней среде

© А.Н. Жаров, С.О. Ширяева, А.И. Григорьев

Ярославский государственный университет им. П.Г. Демидова,  
150000 Ярославль, Россия  
e-mail: grig@uniyar.ac.ru

(Поступило в Редакцию 4 ноября 2003 г.)

В третьем порядке малости по величине амплитуды начальной деформации равновесной сферической формы заряженной идеально проводящей капли в несжимаемой диэлектрической среде найдено аналитическое выражение для образующей ее формы и для нелинейных поправок к частотам осцилляций. Показано, что наличие жидкости, окружающей каплю, приводит к снижению абсолютной величины поправок к частотам и собственного заряда, критического для реализации неустойчивости капли.

1. Задача исследования нелинейных осцилляций заряженной капли во внешней диэлектрической среде представляет интерес в связи с многочисленными академическими, техническими и технологическими приложениями [1,2]. Поэтому она уже становилась предметом теоретического анализа во втором порядке малости как в случае несжимаемой [3], так и в случае сжимаемой внешней среды [4], но за рамками проведенных исследований остался вопрос о нелинейных поправках к частотам осцилляций, проявляющихся лишь в третьем порядке малости [5–7]. В связи со сказанным и проведенно настоящее исследование.

2. Пусть имеется сферическая капля радиуса  $R$ , имеющая заряд, равный  $Q$ , идеальной несжимаемой идеально проводящей жидкости с плотностью  $\rho_{(i)}$  и коэффициентом поверхностного натяжения  $\sigma$ , находящаяся в идеальной несжимаемой жидкости плотности  $\rho_{(e)}$  с диэлектрической проницаемостью  $\varepsilon_d$  в условиях отсутствия гравитации. Движение жидкости в капле и внешней среде примем потенциальным с потенциалами скоростей  $\psi_{(i)}$  и  $\psi_{(e)}$  соответственно. Потенциал электрического поля в окрестности капли обозначим  $\phi$ . Форму капли будем считать осесимметричной как в начальный, так и во все последующие моменты времени. Уравнение границы раздела сред в безразмерных переменных, в которых  $\rho_{(i)} = 1$ ,  $R = 1$ ,  $\sigma = 1$  в любой момент времени  $t$ , запишется в виде

$$r = 1 + \xi(\vartheta, t). \quad (1)$$

Начальную деформацию сферической формы поверхности капли выберем в виде

$$t = 0: \quad \xi = \xi_0 P_0(\cos \vartheta) + \varepsilon \sum_{m \in \Omega} h_m P_m(\cos \vartheta) \quad (2)$$

с дополнительным условием

$$t = 0: \quad \partial_t \xi = 0, \quad (3)$$

где  $\varepsilon$  — произвольный малый параметр, характеризующий амплитуду начального возмущения;  $P_m(\cos \vartheta)$  —

полином Лежандра порядка  $m$ ;  $\xi_0$  — константа, подобранная так, чтобы объем капли в начальный момент времени совпадал с объемом равновесной сферы; знак  $\partial_t$  означает частную производную по переменной  $t$ ;  $\Omega$  — множество индексов изначально возбужденных мод;  $h_m$  — константы, учитывающие вклад  $m$ -й моды в формирование начальной формы капли, такие, что  $\sum_{m \in \Omega} h_m = 1$ .

Полная математическая формулировка задачи о капиллярных колебаниях заряженной капли, кроме уравнения поверхности капли (1) и начальных условий (2), (3), содержит уравнения Лапласа для потенциалов скорости жидкости и электрического поля:

$$\Delta \psi_{(i)} = 0; \quad \Delta \psi_{(e)} = 0; \quad \Delta \phi = 0; \quad (4)$$

условия ограниченности потенциалов

$$r \rightarrow 0: \quad \psi_{(i)} \rightarrow 0; \quad (5)$$

$$r \rightarrow +\infty: \quad \psi_{(e)} \rightarrow 0; \quad \nabla \phi \rightarrow 0; \quad (6)$$

кинематическое и динамическое граничные условия

$$r = 1 + \xi(\vartheta, t): \quad \begin{aligned} \partial_t \xi &= \partial_r \psi_{(i)} - \frac{1}{r^2} \partial_\vartheta \psi_{(i)} \partial_\vartheta \xi \\ &= \partial_r \psi_{(e)} - \frac{1}{r^2} \partial_\vartheta \psi_{(e)} \partial_\vartheta \xi, \end{aligned} \quad (7)$$

$$\begin{aligned} \partial_t \psi_{(i)} + \frac{1}{2} (\nabla \psi_{(i)})^2 - \rho_{(e)} \left( \partial_t \psi_{(e)} + \frac{1}{2} (\nabla \psi_{(e)})^2 \right) \\ = p_0 - p_\infty + p_q - p_\sigma; \end{aligned} \quad (8)$$

условие неизменности объема капли

$$\int_V r^2 \sin \vartheta dr d\vartheta d\varphi = \frac{4\pi}{3}, \quad (9)$$

$$V = \{r, \vartheta, \varphi | 0 \leq r \leq 1 + \xi; 0 \leq \vartheta \leq \pi; 0 \leq \varphi \leq 2\pi\};$$

условие постоянства полного заряда

$$\int_S \mathbf{n} \cdot \nabla \phi dS = -4\pi Q;$$

$$S = \{r, \vartheta, \varphi | r = 1 + \xi; 0 \leq \vartheta \leq \pi; 0 \leq \varphi \leq 2\pi\}; \quad (10)$$

условие постоянства электрического потенциала вдоль поверхности границы раздела сред

$$r = 1 + \xi(\vartheta, t) : \quad \phi = \phi_S(t); \quad (11)$$

в выражениях (4)–(11)  $p_\infty, p_0, p_q, p_\sigma$  — давления внешней среды на бесконечности, жидкости в центре капли, электрического поля и капиллярного соответственно;  $\mathbf{n}$  — вектор нормали к поверхности капли;  $\phi_S$  — электрический потенциал поверхности капли.

3. Решение задачи (1)–(11) проведем методом многих масштабов [8,9]. В частности, все потенциалы и уравнение образующей формы поверхности будем считать функциями от трех различных временных масштабов  $T_m = \varepsilon^m t$ ;  $m = 0, 1, 2$  и представим рядами по малому параметру  $\varepsilon$

$$\phi(r, \vartheta, t) = \sum_{m=0}^3 \varepsilon^m \phi^{(m)}(r, \vartheta, T_0, T_1, T_2) + O(\varepsilon^4); \quad (12)$$

$$\phi_S(r, t) = \sum_{m=0}^3 \varepsilon^m \phi_S^{(m)}(r, T_0, T_1, T_2) + O(\varepsilon^4); \quad (13)$$

$$\psi_{(i)}(r, \vartheta, t) = \sum_{m=1}^3 \varepsilon^m \psi_{(i)}^{(m)}(r, \vartheta, T_0, T_1, T_2) + O(\varepsilon^4); \quad (14)$$

$$\psi_{(e)}(r, \vartheta, t) = \sum_{m=1}^3 \varepsilon^m \psi_{(e)}^{(m)}(r, \vartheta, T_0, T_1, T_2) + O(\varepsilon^4); \quad (15)$$

$$\xi(\vartheta, t) = \sum_{m=1}^3 \varepsilon^m \xi^{(m)}(\vartheta, T_0, T_1, T_2) + O(\varepsilon^4), \quad (16)$$

где  $\phi^{(0)} = Q/(\varepsilon_d r)$ ,  $\phi_S^{(0)} = Q/\varepsilon_d$  — решения задачи нулевого порядка малости, т. е. для равновесной сферической поверхности капли.

Подставляя (12)–(16) в (1)–(11), получим задачи различных порядков малости, которые ради краткости изложения вынесены в Приложение А.

Поскольку уравнение Лапласа (4) является линейным, то в каждом порядке малости потенциалы скорости жидкости и электрического поля будут являться решениями уравнений Лапласа (1А), (10А), (19А). Решение этих уравнений с учетом условий ограниченности (2А), (3А), (11А), (12А), (20А), (21А) можно записать в виде

$$\psi_{(i)}^{(m)}(r, \vartheta, T_0, T_1, T_2) = \sum_{n=1}^{\infty} r^n D_{(i)n}^{(m)}(T_0, T_1, T_2) P_n(\cos \vartheta);$$

$$m = 1, 2, 3; \quad (17)$$

$$\psi_{(e)}^{(m)}(r, \vartheta, T_0, T_1, T_2) = \sum_{n=0}^{\infty} \frac{D_{(e)n}^{(m)}}{r^{n+1}}(T_0, T_1, T_2) P_n(\cos \vartheta);$$

$$m = 1, 2, 3; \quad (18)$$

$$\phi^{(m)}(r, \vartheta, T_0, T_1, T_2) = \sum_{n=0}^{\infty} \frac{F_n^{(m)}(T_0, T_1, T_2)}{r^{n+1}} P_n(\cos \vartheta);$$

$$m = 1, 2, 3. \quad (19)$$

Заметим, что в выражении (17) суммирование начинается с  $n = 1$ , так как потенциал определяется с точностью до произвольной функции времени, что позволяет принять  $D_{(i)0}^{(m)} = 0$ .

Функцию, описывающую отклонение формы поверхности капли от сферической, представим в виде разложения по полиномам Лежандра

$$\xi^{(m)}(\vartheta, T_0, T_1, T_2) = \sum_{n=0}^{\infty} M_n^{(m)}(T_0, T_1, T_2) P_n(\cos \vartheta);$$

$$m = 1, 2, 3. \quad (20)$$

Отметим, что решение сформулированной задачи в третьем порядке малости по  $\varepsilon$  позволяет выявить зависимость коэффициентов первого порядка малости ( $m = 1$ ) в разложениях (17)–(20) от трех временных масштабов  $T_0, T_1, T_2$ ; коэффициентов второго порядка малости ( $m = 2$ ) — от двух временных масштабов  $T_0, T_1$ ; коэффициентов третьего порядка малости ( $m = 3$ ) — только от времени  $T_0$ .

Подставляя выражения (17)–(20) в уравнения (4А)–(9А), найдем явные зависимости всех коэффициентов первого порядка малости от временного масштаба  $T_0$ :

$$M_n^{(1)}(T_0, T_1, T_2) = a_n^{(1)}(T_1, T_2) \cos(\omega_n T_0 + \tau_n^{(1)}(T_1, T_2)); \quad (21)$$

$$D_{(i)n}^{(1)}(T_0, T_1, T_2) = \partial_{T_0} M_n^{(1)}(T_0, T_1, T_2)/n; \quad (22)$$

$$D_{(e)n}^{(1)}(T_0, T_1, T_2) = -\partial_{T_0} M_n^{(1)}(T_0, T_1, T_2)/(n+1); \quad (23)$$

$$F_n^{(1)}(T_0, T_1, T_2) = Q M_n^{(1)}(T_0, T_1, T_2). \quad (24)$$

В выражении (21)  $a_n^{(1)}(T_1, T_2)$  и  $\tau_n^{(1)}(T_1, T_2)$  — функции, зависящие только от временных масштабов  $T_1, T_2$  и удовлетворяющие начальным условиям (9А)

$$t = 0 : \quad a_n^{(1)} = h_n \cdot \delta_{n,m}, \quad \tau_n^{(1)} = 0, \quad m \in \Omega, \quad (25)$$

где  $\delta_{n,m}$  — символ Кронекера.

Подставляя разложения (17)–(20) и решения (21)–(24) в уравнения (13А)–(18А) и исключая секулярные члены, найдем, что функции  $a_n^{(1)}(T_1, T_2)$  и  $\tau_n^{(1)}(T_1, T_2)$  не зависят от временного масштаба  $T_1$ , а зависят только от масштаба  $T_2$ , и явные зависимости коэффициентов  $D_{(i)n}^{(2)}$ ,  $D_{(e)n}^{(2)}$ ,  $F_n^{(2)}$ ,  $M_n^{(2)}$  в разложениях (17)–(20) от временного масштаба  $T_0$  с учетом (25) можно записать в виде

$$M_0^{(2)}(T_0) = - \sum_{m \in \Omega} \frac{(a_m^{(1)})^2 \cos^2(\omega_m T_0)}{2m+1};$$

$$M_n^{(2)}(T_0, T_1) = a_n^{(2)}(T_1) \cos(\omega_n T_0 + \tau_n^{(2)}(T_1))$$

$$+ \sum_{l, m \in \Omega} \frac{a_l^{(1)} a_m^{(2)}}{2} \left( \lambda_{lmn}^{(+)} \cos((\omega_l + \omega_m) T_0) \right.$$

$$\left. + \lambda_{lmn}^{(-)} \cos((\omega_l - \omega_m) T_0) \right), \quad n \geq 1, \quad (26)$$

$$F_0^{(2)} = 0: \quad F_n^{(2)}(T_0, T_1) = QM_n^{(2)}(T_0, T_1) + Q \sum_{l,m \in \Omega} lK_{lmn} a_l^{(1)} a_m^{(1)} \cos(\omega_l T_0) \cos(\omega_m T_0); \quad (27)$$

$$D_{(i)n}^{(2)}(T_0, T_1) = \frac{1}{n} \left\{ \partial_{T_0} M_n^{(2)}(T_0, T_1) + \sum_{l,m \in \Omega} \left( (l-1)K_{lmn} - \frac{\alpha_{lmn}}{l} \right) \omega_l a_l^{(1)} a_m^{(1)} \times \sin(\omega_l T_0) \cos(\omega_m T_0) \right\}, \quad n \geq 1; \quad (28)$$

$$D_{(e)n}^{(2)}(T_0, T_1) = -\frac{1}{(n+1)} \left\{ \partial_{T_0} M_n^{(2)}(T_0, T_1) + \sum_{l,m \in \Omega} \left( \alpha_{lmn}/(l+1) - (l+2)K_{lmn} \right) \omega_l a_l^{(1)} a_m^{(1)} \times \sin(\omega_l T_0) \cos(\omega_m T_0) \right\}, \quad n \geq 0, \quad (29)$$

где  $\lambda_{lmn}^{(+)}, \lambda_{lmn}^{(-)}, K_{lmn}, \alpha_{lmn}$  — коэффициенты, определенные в Приложении В, а  $a_n^{(2)}(T_1)$  и  $\tau_n^{(2)}(T_1)$  — функции временного масштаба  $T_1$ , удовлетворяющие начальным условиям (18А)

$$t = 0: \quad a_n^{(2)} = - \sum_{l,m \in \Omega} \frac{h_l h_m}{2} (\lambda_{lmn}^{(+)} + \lambda_{lmn}^{(-)}), \quad \tau_n^{(2)} = 0. \quad (30)$$

Подставляя выражения (17)–(20) и решения (21)–(24), (26)–(29) в систему уравнений (22А)–(27А) и исключая из нее секулярные слагаемые, находим, что функции  $a_n^{(1)}(T_2)$ ,  $a_n^{(2)}(T_1)$  и  $\tau_n^{(2)}(T_1)$  не зависят от временных масштабов  $T_1$  и  $T_2$ , и поэтому их значения вполне определяются начальными условиями (25) и (30), а для функции  $\tau_n^{(1)}(T_2)$  справедливо выражение

$$\tau_n^{(1)}(T_2) = T_2 b_n = \frac{T_2}{2\omega_n} \left\{ \frac{h_n^2 (\Xi_n^0 + 2\omega_n^2 (\Xi_n^1 - 2\Xi_n^2))}{4(2n+1)} + \sum_{k \in \Omega} \frac{h_k^2 \Xi_n^0}{2(2k+1)} - \sum_{k \in \Omega} \frac{h_k^2}{4} \left[ H_{nkkn}^{1(-)(+)} + H_{knkn}^{2(+)(+)} + H_{knkn}^{2(-)(-)} + (1-\delta_{kn}) (H_{kknn}^{1(-)(+)} + H_{kknn}^{2(+)(+)} + H_{nkkn}^{2(-)(-)}) \right] \right\}. \quad (31)$$

Коэффициенты  $D_{(i)n}^{(3)}, D_{(e)n}^{(3)}, F_n^{(3)}, M_n^{(3)}$  разложений (17)–(20) определяются выражениями

$$M_0^{(3)}(T_0) = - \sum_{k \in \Omega} \frac{2M_k^{(2)}(T_0)}{2k+1} h_k \cos(\omega_k T_0) - \sum_{k,m,l \in \Omega} \frac{K_{kml} h_k h_m h_l}{3(2l+1)} \cos(\omega_k T_0) \cos(\omega_m T_0) \cos(\omega_l T_0);$$

$$M_n^{(3)}(T_0) = - \sum_{k \in \Omega} \frac{h_n h_k^2 (\Xi_n^0 - 2\Xi_n^1 \omega_n \omega_k - 4\Xi_n^2 \omega_k^2)}{8(2k+1)\omega_k(\omega_n + \omega_k)} \times \sin((\omega_n + \omega_k)T_0) \sin(\omega_k T_0) - \sum_{k \in \Omega} \frac{h_n h_k^2 (1 - \delta_{nk}) (\Xi_n^0 + 2\Xi_n^1 \omega_n \omega_k - 4\Xi_n^2 \omega_k^2)}{8(2k+1)\omega_k(\omega_n - \omega_k)} \times \sin((\omega_n - \omega_k)T_0) \sin(\omega_k T_0) - \sum_{g=1}^{\infty} \sum_{k,m,l \in \Omega} \frac{h_k h_m h_l (\lambda_{lmg}^{(+)} + \lambda_{lmg}^{(-)})}{4} \times \left\{ \frac{H_{kgn}^{0(+)} (\cos((\omega_k + \omega_g)T_0) - \cos(\omega_n T_0))}{\omega_n^2 - (\omega_k + \omega_g)^2} + \frac{H_{kgn}^{0(-)} (\cos((\omega_k - \omega_g)T_0) - \cos(\omega_n T_0))}{\omega_n^2 - (\omega_k - \omega_g)^2} + \sum_{k,m,l \in \Omega} \frac{h_k h_m h_l}{4} \left\{ \frac{H_{kmln}^{1(+)(-)} (\cos(\psi_{klm}^{(+)(+)} T_0) - \cos(\omega_n T_0))}{\omega_n^2 - (\omega_k + \omega_l + \omega_m)^2} + \frac{H_{kmln}^{1(-)(+)} D_{lm}^{kn} D_{km}^{ln} (\cos(\psi_{klm}^{(+)(-)} T_0) - \cos(\omega_n T_0))}{\omega_n^2 - (\omega_k + \omega_l - \omega_m)^2} + \frac{H_{kmln}^{2(+)(+)} D_{kl}^{mn} D_{km}^{ln} (\cos(\psi_{klm}^{(-)(-)} T_0) - \cos(\omega_n T_0))}{\omega_n^2 - (\omega_k - \omega_l - \omega_m)^2} + \frac{H_{kmln}^{2(-)(-)} D_{kl}^{mn} D_{ml}^{kn} (\cos(\psi_{klm}^{(+)(-)} T_0) - \cos(\omega_n T_0))}{\omega_n^2 - (\omega_k - \omega_l + \omega_m)^2} \right\}, \quad n \geq 1; \quad (32)$$

$$F_0^{(3)}(T_0) = Q \sum_{k,m,l \in \Omega} \frac{k+1}{2l+1} \left( \alpha_{kml} - \frac{k(k+1)}{2} K_{kml} \right) \times h_k h_m h_l \cos(\omega_k T_0) \cos(\omega_m T_0) \cos(\omega_l T_0);$$

$$F_0^{(3)}(T_0) = QM_n^{(3)}(T_0) + \sum_{m \in \Omega} \sum_{k=1}^{\infty} (k+1) K_{kmn} F_k^{(2)}(T_0) h_m \cos(\omega_m T_0) + Q \sum_{k \in \Omega} \sum_{m=0}^{\infty} (k-1) K_{kmn} M_m^{(2)}(T_0) h_k \cos(\omega_k T_0) - Q \sum_{g=0}^{\infty} \sum_{k,m,l \in \Omega} \frac{k(k+3)}{2} K_{kmg} K_{gln} h_k h_m h_l \times \cos(\omega_k T_0) \cos(\omega_m T_0) \cos(\omega_l T_0), \quad n \geq 1; \quad (33)$$

$$\begin{aligned}
 D_{(i)n}^{(3)}(T_0) &= \frac{1}{n} \partial_{T_0} M_n^{(3)}(T_0) - \frac{1 - \delta_{1n}}{n} h_n b_n \sin(\omega_n T_0) \\
 &- \frac{1}{n} \sum_{m \in \Omega} \sum_{k=1}^{\infty} (k(k-1)K_{kmn} - \alpha_{kmn}) D_k^{(2)}(T_0) h_m \cos(\omega_m T_0) \\
 &+ \frac{1}{n} \sum_{k \in \Omega} \sum_{m=0}^{\infty} (k(k-1) - \alpha_{kmn}) M_m^{(2)}(T_0) \omega_k h_k \sin(\omega_k T_0) \\
 &+ \frac{1}{n} \sum_{k,m,l \in \Omega} \sum_{g=0}^{\infty} \left( \frac{k(k-1)}{2} K_{kmg} - \alpha_{kmg} \right) (k-2) \\
 &\times K_{gln} \omega_k h_k h_m h_l \sin(\omega_k T_0) \cos(\omega_m T_0) \cos(\omega_l T_0), \quad n \geq 1; \tag{34}
 \end{aligned}$$

$$\begin{aligned}
 D_{(e)n}^{(3)}(T_0) &= -\frac{1}{n+1} \partial_{T_0} M_n^{(3)}(T_0) \\
 &+ \frac{(1 - \delta_{0n})(1 - \delta_{1n})}{n+1} h_n b_n \sin(\omega_n T_0) \\
 &+ \frac{1}{n+1} \sum_{k \in \Omega} \sum_{m=0}^{\infty} \left( (k+2)K_{kmn} - \frac{\alpha_{kmn}}{k+1} \right) M_m^{(2)} \omega_k h_k \sin(\omega_k T_0) \\
 &- \frac{1}{n+1} \sum_{k \in \Omega} \sum_{m=0}^{\infty} (\alpha_{kmn} - (m+1)(m+2)K_{kmn}) D_m^{(2)} h_k \cos \omega_k(T_0) \\
 &+ \frac{1}{n+1} \sum_{k,m,l \in \Omega} \sum_{g=0}^{\infty} \left( \frac{\alpha_{kmg}}{k+1} - \frac{k+2}{2} K_{kmg} \right) (k+3) \\
 &\times K_{gln} \omega_k h_k h_m h_l \sin(\omega_k T_0) \cos(\omega_m T_0) \cos(\omega_l T_0), \quad n \geq 0; \tag{35}
 \end{aligned}$$

где  $\Xi_n^0, \xi_n^1, \Xi_n^2, \beta_{kmgln}^{1(\pm)}, \beta_{kmgln}^{2(\pm)}, H_{kgn}^{0(\pm)}, H_{kmln}^{1(\pm)(\pm)}, H_{kmln}^{2(\pm)(\pm)}, \psi_{kml}^{(\pm)(\pm)}, D_{lm}^{kn}$  — коэффициенты, вынесенные в Приложение В;  $\delta_{kn}$  — символ Кронекера.

Подставляя (20) в (1), запишем выражение для образующей капли в виде

$$\begin{aligned}
 r(\vartheta, T_0, T_2) &= 1 + \varepsilon \sum_{n \in \Omega} M_n^{(1)}(T_0, T_2) P_n(\cos(\vartheta)) \\
 &+ \varepsilon^2 \sum_{n=0}^{\infty} \left( M_n^{(2)}(T_0) + \varepsilon M_n^{(3)}(T_0) \right) P_n(\cos(\vartheta)). \tag{36}
 \end{aligned}$$

4. Анализируя выражения (26), (32) и (36), заметим, что амплитуды второго и третьего порядков малости в отклонении поверхности капли от сферической формы, как и в случае отсутствия внешней среды, пропорциональны выражениям

$$M_g^2 \sim \sum_{k,m \in \Omega} K_{kmg}, \quad M_n^{(3)} \sim \sum_{g=0}^{\infty} \sum_{k,m,l \in \Omega} K_{kmg} K_{gln},$$

где коэффициенты  $K_{kmg}$  отличны от нуля, только если  $|k-m| \leq g \leq |k+m|$  и  $k+m+g$  — четное число.

Таким образом, наличие внешней среды не приводит к расширению спектра мод, формирующих поверхность заряженной капли.

Из выражений (21) и (31) видно, что любая изначально возбужденная мода первого порядка малости имеет сдвиг частоты, пропорциональный квадрату амплитуды начального возмущения поверхности капли  $\varepsilon^2$ , существенно зависящий от множества изначально возбужденных мод  $\Omega$  и плотности окружающей среды  $\rho_{(e)}$ .

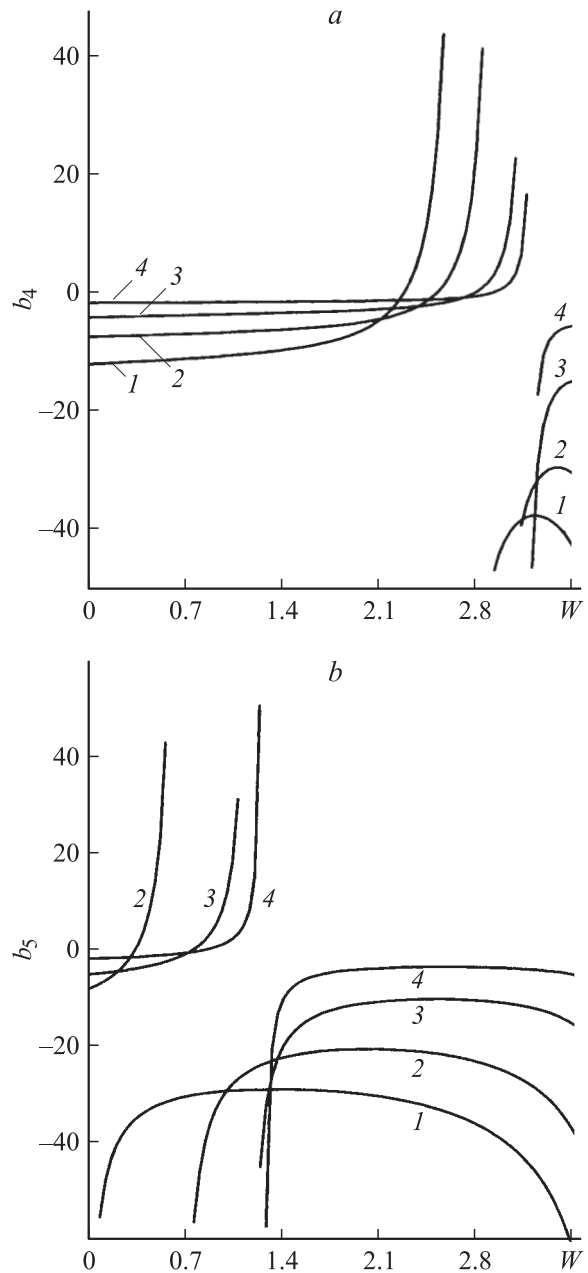


Рис. 1. Зависимость коэффициента  $b_n$ , характеризующего сдвиг частоты  $n$ -й моды, от параметра Рэлея  $W$  при начальном возбуждении  $n$ -й моды для различных значений плотности окружающей жидкости:  $\rho_{(e)} = 0$  (1), 1 (2), 10 (3), 100 (4);  $n = 4$  (a), 5 (b).

Из (36) видно, что поправки к частотам, пропорциональные  $b_n$ , имеют второй порядок малости по  $\varepsilon$  и содержат в знаменателях множители, обращающиеся при определенных соотношениях между частотами различных мод в нуль (в таких случаях принято говорить о резонансном характере соответствующих поправок [9]). Так, когда в начальный момент времени возбуждена четвертая мода, поправка к частоте имеет резонанс при  $\omega_6^2 - 4\omega_4^2 = 0$ , а когда возбуждена пятая мода, резонанс реализуется при  $\omega_8^2 - 4\omega_5^2 = 0$ . Вдали от положений резонансов величины поправок к частотам  $b_n \cdot \varepsilon^2$  с ростом плотности окружающей жидкости  $\rho_{(e)}$  уменьшаются по абсолютной величине (рис. 1).

Учет нелинейных поправок к частотам капиллярных колебаний капли приводит к изменению критического значения параметра Рэлея  $W_{cr}$ , при котором реализуется неустойчивость  $n$ -й моды по отношению к собственному заряду [6]. Условие проявления неустойчивости  $n$  моды

с учетом нелинейной поправки к частоте может быть записано в виде

$$(\omega_n + \varepsilon^2 b_n)^2 = \omega_n^2 + 2\varepsilon^2 \omega_n b_n + O(\varepsilon^4) = 0.$$

Влияние наличия внешней среды на критические условия неустойчивости сводится к незначительному увеличению критического значения параметра Рэлея с ростом плотности окружающей жидкости  $\rho_{(e)}$  (в связи с уменьшением по абсолютной величине коэффициента  $b_n$ ) [7] и к весьма заметному снижению величины коэффициента межфазного поверхностного натяжения по сравнению с коэффициентом поверхностного натяжения капли в вакууме [10]. В итоге критическая для реализации неустойчивости капли величина собственного заряда при наличии внешней среды снижается.

Амплитуды мод второго  $M_n^{(2)}$  и третьего  $M_n^{(3)}$  порядков также зависят от плотности окружающей жидкости, что приводит к некоторому изменению формы поверхности капли (к локальному уменьшению кривизны ее поверхности), находящейся во внешней среде, по сравнению с каплей в вакууме (рис. 2). Наличие внешней среды наиболее заметно сказывается на форме поверхности капли в окрестности точек, обладающих наиболее высокой скоростью движения.

### Заключение

Величины нелинейных поправок к частотам осцилляций заряженной капли идеальной несжимаемой электропроводной жидкости в диэлектрической несжимаемой внешней среде существенно зависят от отношения плотностей сред и снижаются с ростом плотности среды. Влияние на устойчивость капли по отношению к собственному заряду внешней среды, моделируемой несжимаемой жидкостью, складывается из двух факторов: с одной стороны, нелинейный сдвиг частоты осцилляций приводит к слабому росту критического заряда; с другой стороны, существенное снижение величины коэффициента межфазного поверхностного натяжения (по сравнению с каплей в вакууме) приводит к весьма заметному снижению величины критического заряда.

### Приложение А. Выделение задач различного порядка малости

Задача первого порядка малости, полученная после подстановки (12)–(16) в (1)–(11), имеет вид

$$\Delta\psi_{(i)}^{(1)} = 0; \quad \Delta\psi_{(e)}^{(1)} = 0; \quad \Delta\phi^{(1)} = 0; \quad (1A)$$

$$r \rightarrow 0: \quad \psi_{(i)}^{(1)} \rightarrow 0; \quad (2A)$$

$$r \rightarrow +\infty: \quad \psi_{(e)}^{(1)} \rightarrow 0; \quad \nabla\phi^{(1)} \rightarrow 0; \quad (3A)$$

$$r = 1: \quad \partial_{T_0} \xi^{(1)} = \partial_r \psi_{(i)}^{(1)} = \partial_r \psi_{(e)}^{(1)}; \quad (4A)$$

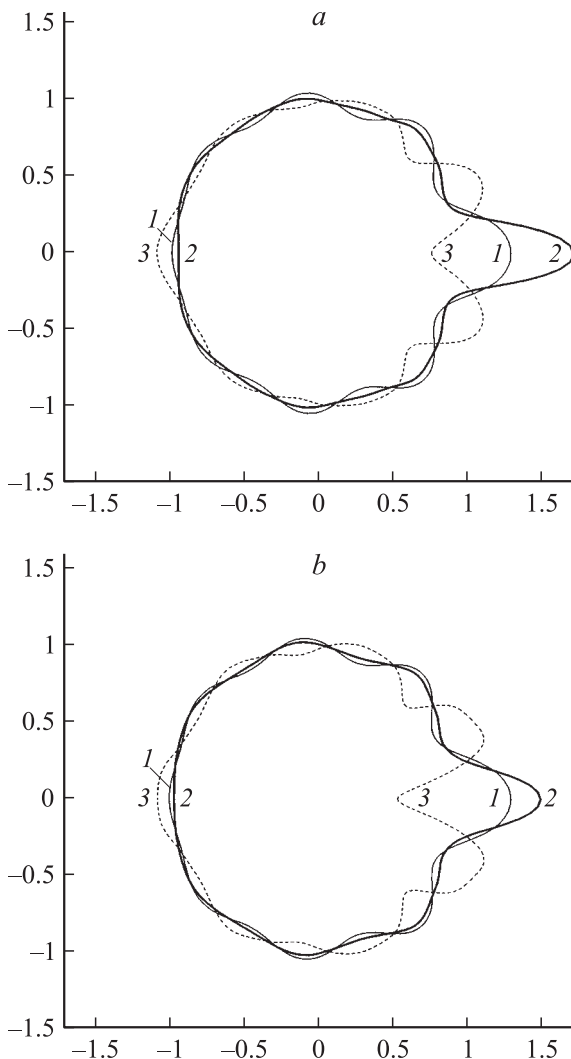


Рис. 2. Контур образующей капли при начальном возбуждении седьмой и восьмой мод, когда  $h_7 = h_8 = 0.5$ ,  $W = 3$ ,  $\varepsilon = 0.3$ . а) —  $\rho_{(e)} = 0$ ;  $t = 0.01$  (1), 0.075 (2), 0.22 (3); б) —  $\rho_{(e)} = 5$ ;  $t = 0.02$  (1), 0.14 (2), 0.525 (3).

$$\begin{aligned} \partial_{T_0} \psi^{(1)} - \rho_{(e)} \partial_{T_0} \psi_{(e)}^{(1)} &= \frac{1}{4\pi\epsilon_d} \partial_r \phi^{(0)} \\ &\times (\partial_r \phi^{(1)} + \xi^{(1)} \partial_{rr} \phi^{(0)}) + 2\xi^{(1)} + \Delta_\Omega \xi^{(1)}; \end{aligned} \quad (5A)$$

$$\int_{-1}^1 \xi^{(1)} d(\cos \vartheta) = 0; \quad (6A)$$

$$\int_{-1}^1 \left\{ \partial_r \phi^{(1)} + \xi^{(1)} (\partial_{rr} \phi^{(0)} + 2\partial_r \phi^{(0)}) \right\} d(\cos \vartheta) = 0; \quad (7A)$$

$$\phi^{(1)} + \xi^{(1)} \partial_r \phi^{(0)} = \phi_S^{(1)}(t); \quad (8A)$$

$$t = 0: \quad \xi^{(1)} = \varepsilon \sum_{m \in \Omega} h_m P_m(\cos \vartheta); \quad \partial_{T_0} \xi^{(1)} = 0. \quad (9A)$$

Задача второго порядка малости имеет вид

$$\Delta \psi_{(i)}^{(2)} = 0; \quad \Delta \psi_{(e)}^{(2)} = 0; \quad \Delta \phi^{(2)} = 0; \quad (10A)$$

$$r \rightarrow 0: \quad \psi_{(i)}^{(2)} \rightarrow 0; \quad (11A)$$

$$r \rightarrow +\infty: \quad \psi_{(e)}^{(2)} \rightarrow 0; \quad \nabla \phi^{(2)} \rightarrow 0; \quad (12A)$$

$$\begin{aligned} r = 1: \quad \partial_{T_0} \xi^{(2)} + \partial_{T_1} \xi^{(1)} \\ = \partial_r \psi_{(i)}^{(2)} + \xi^{(1)} \partial_{rr} \psi_{(i)}^{(1)} - \partial_{\vartheta} \xi^{(1)} \partial_{\vartheta} \psi_{(i)}^{(1)} \\ = \partial_r \psi_{(e)}^{(2)} + \xi^{(1)} \partial_{rr} \psi_{(e)}^{(1)} - \partial_{\vartheta} \xi^{(1)} \partial_{\vartheta} \psi_{(e)}^{(1)}; \end{aligned} \quad (13A)$$

$$\begin{aligned} \partial_{T_0} \psi_{(i)}^{(2)} + \partial_{T_1} \psi_{(i)}^{(1)} + \xi^{(1)} \partial_{rT_0} \psi_{(i)}^{(1)} + \frac{1}{2} (\partial_r \psi_{(i)}^{(1)})^2 \\ + \frac{1}{2} (\partial_{\vartheta} \psi_{(i)}^{(1)})^2 - \rho_{(e)} \left( \partial_{T_0} \psi_{(e)}^{(2)} + \partial_{T_1} \psi_{(e)}^{(1)} + \xi^{(1)} \partial_{rT_0} \psi_{(e)}^{(1)} \right. \\ \left. + \frac{1}{2} (\partial_r \psi_{(e)}^{(1)})^2 + \frac{1}{2} (\partial_{\vartheta} \psi_{(e)}^{(1)})^2 \right) = \frac{1}{8\pi\epsilon_d} \left\{ 2\xi^{(2)} \partial_r \phi^{(0)} \partial_{rr} \phi^{(0)} \right. \\ + (\xi^{(1)})^2 ((\partial_{rr} \phi^{(0)})^2 + \partial_{rrr} \phi^{(0)} \partial_r \phi^{(0)}) \\ + (\partial_{\vartheta} \phi^{(1)})^2 + (\partial_r \phi^{(1)})^2 + 2\partial_r \phi^{(2)} \partial_r \phi^{(0)} \\ \left. + 2\xi^{(1)} (\partial_{rr} \phi^{(0)} \partial_r \phi^{(1)} + \partial_{rr} \phi^{(1)} \partial_r \phi^{(0)}) \right\} \\ + 2\xi^{(2)} + \Delta_\Omega \xi^{(2)} - 2(\xi^{(1)})^2 - 2\xi^{(1)} \Delta_\Omega \xi^{(1)}; \end{aligned} \quad (14A)$$

$$\int_{-1}^1 (\xi^{(2)} + (\xi^{(1)})^2) d(\cos \vartheta) = 0; \quad (15A)$$

$$\begin{aligned} \int_{-1}^1 \left\{ \partial_r \phi^{(2)} + \xi^{(1)} (\partial_{rr} \phi^{(1)} + 2\partial_r \phi^{(1)}) \right. \\ \left. + \xi^{(2)} (\partial_{rr} \phi^{(0)} + 2\partial_r \phi^{(0)}) \right. \\ \left. + (\xi^{(1)})^2 \left( \frac{1}{2} \partial_{rrr} \phi^{(0)} + 2\partial_{rr} \phi^{(0)} + \partial_r \phi^{(0)} \right) \right. \\ \left. - \partial_{\vartheta} \xi^{(1)} \partial_{\vartheta} \phi^{(1)} \right\} d(\cos \vartheta) = 0; \end{aligned} \quad (16A)$$

$$\begin{aligned} \phi^{(2)} + \xi^{(1)} \partial_r \phi^{(1)} + \xi^{(2)} \partial_r \phi^{(0)} \\ + \frac{1}{2} (\xi^{(1)})^2 \partial_{rr} \phi^{(0)} = \phi_S^{(2)}(t); \end{aligned} \quad (17A)$$

$$t = 0: \quad \xi^{(2)} = - \sum_{m \in \Omega} \frac{h_m P_0(\cos \vartheta)}{2m+1}; \quad \partial_{T_0} \xi^{(2)} + \partial_{T_1} \xi^{(1)} = 0. \quad (18A)$$

Задача третьего порядка малости имеет вид

$$\Delta \psi_{(i)}^{(3)} = 0; \quad \Delta \psi_{(e)}^{(3)} = 0; \quad \Delta \phi^{(3)} = 0; \quad (19A)$$

$$r \rightarrow 0: \quad \psi_{(i)}^{(3)} \rightarrow 0; \quad (20A)$$

$$r \rightarrow +\infty: \quad \psi_{(e)}^{(3)} \rightarrow 0; \quad \nabla \phi^{(3)} \rightarrow 0; \quad (21A)$$

$$\begin{aligned} r = 1: \quad \partial_{T_0} \xi^{(3)} + \partial_{T_1} \xi^{(2)} + \partial_{T_2} \xi^{(1)} = \partial_r \psi_{(i)}^{(3)} \\ - \partial_{\vartheta} \xi^{(2)} \partial_{\vartheta} \psi_{(i)}^{(1)} - \partial_{\vartheta} \xi^{(1)} \partial_{\vartheta} \psi_{(i)}^{(2)} + \xi^{(2)} \partial_{rr} \psi_{(i)}^{(1)} \\ + \xi^{(1)} \left( \partial_{\vartheta} \xi^{(1)} (2\partial_{\vartheta} \psi_{(i)}^{(1)} - \partial_{r\vartheta} \psi_{(i)}^{(1)}) + \partial_{rr} \psi_{(i)}^{(2)} \right) \\ + \frac{1}{2} (\xi^{(1)})^2 \partial_{rrr} \psi_{(i)}^{(1)} = \partial_r \psi_{(e)}^{(3)} - \partial_{\vartheta} \xi^{(2)} \partial_{\vartheta} \psi_{(e)}^{(1)} \\ - \partial_{\vartheta} \xi^{(1)} \partial_{\vartheta} \psi_{(e)}^{(2)} + \xi^{(2)} \partial_{rr} \psi_{(e)}^{(1)} \\ + \xi^{(1)} \left( \partial_{\vartheta} \xi^{(1)} (2\partial_{\vartheta} \psi_{(e)}^{(1)} - \partial_{r\vartheta} \psi_{(e)}^{(1)}) + \partial_{rr} \psi_{(e)}^{(2)} \right) \\ + \frac{1}{2} (\xi^{(1)})^2 \partial_{rrr} \psi_{(e)}^{(1)}; \end{aligned} \quad (22A)$$

$$\begin{aligned} \partial_{T_0} \psi_{(i)}^{(3)} + \partial_{T_2} \psi_{(i)}^{(1)} + \partial_{T_1} \psi_{(i)}^{(2)} + \xi^{(1)} \partial_{rT_1} \psi_{(i)}^{(1)} \\ + \partial_{\vartheta} \psi_{(i)}^{(1)} \partial_{\vartheta} \psi_{(i)}^{(2)} + \partial_r \psi_{(i)}^{(1)} \partial_r \psi_{(i)}^{(2)} + \xi^{(2)} \partial_{rT_0} \psi_{(i)}^{(1)} \\ + \xi^{(1)} \left( \partial_{rT_0} \psi_{(i)}^{(2)} + \partial_{\vartheta} \psi_{(i)}^{(1)} (\partial_{r\vartheta} \psi_{(i)}^{(1)} - \partial_{\vartheta} \psi_{(i)}^{(1)}) \right. \\ \left. + \partial_r \psi_{(i)}^{(1)} \partial_{rr} \psi_{(i)}^{(1)} \right) + \frac{1}{2} (\xi^{(1)})^2 \partial_{rrT_0} \psi_{(i)}^{(1)} \\ - \rho_{(e)} \left( \partial_{T_0} \psi_{(e)}^{(3)} + \partial_{T_2} \psi_{(e)}^{(1)} + \partial_{T_1} \psi_{(e)}^{(2)} + \xi^{(1)} \partial_{rT_1} \psi_{(e)}^{(1)} \right. \\ \left. + \partial_{\vartheta} \psi_{(e)}^{(1)} \partial_{\vartheta} \psi_{(e)}^{(2)} + \partial_r \psi_{(e)}^{(1)} \partial_r \psi_{(e)}^{(2)} + \xi^{(2)} \partial_{rT_0} \psi_{(e)}^{(1)} \right. \\ \left. + \xi^{(1)} \left( \partial_{rT_0} \psi_{(e)}^{(2)} + \partial_{\vartheta} \psi_{(e)}^{(1)} (\partial_{r\vartheta} \psi_{(e)}^{(1)} - \partial_{\vartheta} \psi_{(e)}^{(1)}) \right) \right. \\ \left. + \partial_r \psi_{(e)}^{(1)} \partial_{rr} \psi_{(e)}^{(1)} \right) + \frac{1}{2} (\xi^{(1)})^2 \partial_{rrT_0} \psi_{(e)}^{(1)} \\ = \frac{1}{8\pi\epsilon_d} \left\{ 2\xi^{(3)} \partial_r \phi^{(0)} \partial_{rr} \phi^{(0)} + (\xi^{(1)})^3 \left( \partial_{rr} \phi^{(0)} \partial_{rrr} \phi^{(0)} \right) \right. \end{aligned}$$

$$\begin{aligned}
 & + \frac{1}{3} \partial_r \phi^{(0)} \partial_{rrrr} \phi^{(0)} + 2 \left( \partial_{\vartheta} \phi^{(1)} \partial_{\vartheta} \phi^{(2)} \right. \\
 & + \partial_r \phi^{(1)} \left( \xi^{(2)} \partial_{rr} \phi^{(0)} + \partial_r \phi^{(2)} \right) + \partial_r \phi^{(0)} \partial_r \phi^{(3)} \\
 & + \xi^{(2)} \partial_r \phi^{(0)} \partial_{rr} \phi^{(1)} + 2 \xi^{(1)} \left( \xi^{(2)} \left( \partial_{rr} \phi^{(0)} \right)^2 \right. \\
 & + \partial_r \phi^{(0)} \partial_{rrr} \phi^{(0)} + \partial_{rr} \phi^{(0)} \partial_r \phi^{(2)} \\
 & + \partial_{\vartheta} \phi^{(1)} \left( \partial_{r\vartheta} \phi^{(1)} - \partial_{\vartheta} \phi^{(1)} \right) + \partial_r \phi^{(1)} \partial_{rr} \phi^{(1)} \\
 & + \partial_r \phi^{(0)} \partial_{rr} \phi^{(2)} \left. \right) + \left( \xi^{(1)} \right)^2 \left( \partial_{rrr} \phi^{(0)} \partial_r \phi^{(1)} \right. \\
 & + 2 \partial_{rr} \phi^{(0)} \partial_{rr} \phi^{(1)} + \partial_r \phi^{(0)} \partial_{rrr} \phi^{(1)} \left. \right) \Big\} \\
 & + (2 + \Delta_{\Omega}) \xi^{(3)} + 2 \xi^{(1)} \left( \left( \xi^{(1)} \right)^2 - (2 + \Delta_{\Omega}) \xi^{(2)} \right) \\
 & - 2 \xi^{(2)} \Delta_{\Omega} \xi^{(1)} + 3 \left( \xi^{(1)} \right)^2 \Delta_{\Omega} \xi^{(1)} - \left( \partial_{\vartheta} \xi^{(1)} \right)^2 \partial_{\vartheta} \xi^{(1)} \\
 & - \frac{1}{2} \left( \partial_{\vartheta} \xi^{(1)} \right)^2 \Delta_{\Omega} \xi^{(1)}; \tag{23A}
 \end{aligned}$$

$$\int_{-1}^1 \left( 3 \xi^{(3)} + 6 \xi^{(1)} \xi^{(2)} + \left( \xi^{(1)} \right)^3 \right) d(\cos \vartheta) = 0; \tag{24A}$$

$$\begin{aligned}
 & \int_{-1}^1 \left\{ \partial_r \phi^{(3)} + \xi^{(3)} \left( \partial_{rr} \phi^{(0)} + 2 \partial_r \phi^{(0)} \right) \right. \\
 & + \xi^{(2)} \left( \partial_{rr} \phi^{(1)} + 2 \partial_r \phi^{(1)} \right) \\
 & + \left( \xi^{(1)} \right)^3 \left( \frac{1}{6} \partial_{rrrr} \phi^{(0)} + \partial_{rrr} \phi^{(0)} + \partial_{rr} \phi^{(0)} \right) \\
 & + \left( \xi^{(1)} \right)^2 \left( \frac{1}{2} \partial_{rrr} \phi^{(1)} + 2 \partial_{rr} \phi^{(1)} + \partial_r \phi^{(1)} \right) \\
 & + \xi^{(1)} \left( \xi^{(2)} \left( \partial_{rrr} \phi^{(0)} + 4 \partial_{rr} \phi^{(0)} + 2 \partial_r \phi^{(0)} \right) \right. \\
 & + 2 \partial_r \phi^{(2)} + \partial_{rr} \phi^{(2)} - \partial_{\vartheta} \xi^{(1)} \partial_{r\vartheta} \phi^{(1)} \left. \right) \\
 & \left. - \partial_{\vartheta} \xi^{(2)} \partial_{\vartheta} \phi^{(1)} - \partial_{\vartheta} \xi^{(1)} \partial_{\vartheta} \phi^{(2)} \right\} d(\cos \vartheta) = 0; \tag{25A}
 \end{aligned}$$

$$\begin{aligned}
 & \phi^{(3)} + \xi^{(1)} \partial_r \phi^{(2)} + \xi^{(2)} \partial_r \phi^{(1)} + \xi^{(3)} \partial_r \phi^{(0)} \\
 & + \frac{1}{2} \left( \xi^{(1)} \right)^2 \partial_{rr} \phi^{(1)} + \xi^{(1)} \xi^{(2)} \partial_{rr} \phi^{(0)} \\
 & + \frac{1}{6} \left( \xi^{(1)} \right)^3 \partial_{rrr} \phi^{(0)} = \phi_S^{(3)}(t); \tag{26A}
 \end{aligned}$$

$$\begin{aligned}
 t = 0: \quad \xi^{(3)} &= - \sum_{k,m,l \in \Omega} \frac{h_k h_m h_l}{3(2l+1)} K_{kml} P_0(\cos \vartheta); \\
 t = 0: \quad \partial_{T_0} \xi^{(3)} + \partial_{T_1} \xi^{(2)} + \partial_{T_2} \xi^{(1)} &= 0, \tag{27A}
 \end{aligned}$$

где  $K_{mln} = (C_{m0l0}^n)^2$ ,  $C_{m0l0}^n$  — коэффициенты Клебша–Гордана.

**Приложение В. Выражения для коэффициентов разложений**

$$\begin{aligned}
 H_{kmln}^{1(+)(-)} &= \sum_{g=1}^{\infty} \left( \beta_{kmgln}^{1(+)} \lambda_{lmg}^{(+)} + \mu_{kmgln}^{1(-)} \right) + \sum_{g=0}^{\infty} \mu_{kmgln}^{0(-)}; \\
 H_{kmln}^{1(-)(+)} &= \sum_{g=1}^{\infty} \left( \beta_{kmgln}^{1(-)} \lambda_{lmg}^{(-)} + \mu_{kmgln}^{1(+)} \right) + \sum_{g=0}^{\infty} \mu_{kmgln}^{0(+)}; \\
 H_{kmln}^{2(+)(+)} &= \sum_{g=1}^{\infty} \left( \beta_{kmgln}^{2(+)} \lambda_{lmg}^{(+)} + \mu_{kmgln}^{1(+)} \right) + \sum_{g=0}^{\infty} \mu_{kmgln}^{0(+)}; \\
 H_{kmln}^{2(-)(-)} &= \sum_{g=1}^{\infty} \left( \beta_{kmgln}^{2(-)} \lambda_{lmg}^{(-)} + \mu_{kmgln}^{1(-)} \right) + \sum_{g=0}^{\infty} \mu_{kmgln}^{0(-)}; \\
 H_{mgn}^{0(+)} &= \left( \Pi_{mgn}^0 - \Pi_{mgn}^1 \omega_m \omega_g - \Pi_{mgn}^2 \omega_g^2 \right) \left( \lambda_{mmg}^{(+)} + \lambda_{mmg}^{(-)} \right); \\
 H_{mgn}^{0(-)} &= \left( \Pi_{mgn}^0 + \Pi_{mgn}^1 \omega_m \omega_g - \Pi_{mgn}^2 \omega_g^2 \right) \left( \lambda_{mmg}^{(+)} + \lambda_{mmg}^{(-)} \right); \\
 \beta_{kmgln}^{1(+)} &= \Pi_{kgn}^0 - \Pi_{kgn}^1 \omega_k (\omega_l + \omega_m) - \Pi_{kgn}^2 (\omega_l + \omega_m)^2; \\
 \beta_{kmgln}^{1(-)} &= \Pi_{kgn}^0 - \Pi_{kgn}^1 \omega_k (\omega_l - \omega_m) - \Pi_{kgn}^2 (\omega_l - \omega_m)^2; \\
 \beta_{kmgln}^{2(+)} &= \Pi_{kgn}^0 + \Pi_{kgn}^1 \omega_k (\omega_l + \omega_m) - \Pi_{kgn}^2 (\omega_l + \omega_m)^2; \\
 \beta_{kmgln}^{2(-)} &= \Pi_{kgn}^0 + \Pi_{kgn}^1 \omega_k (\omega_l - \omega_m) - \Pi_{kgn}^2 (\omega_l - \omega_m)^2; \\
 \mu_{kmgln}^{1(-)} &= \Lambda_{kmgln}^1 - \Gamma_{kmgln}^1 \omega_m \omega_k; \\
 \mu_{kmgln}^{1(+)} &= \Lambda_{kmgln}^1 + \Gamma_{kmgln}^1 \omega_m \omega_k; \\
 \mu_{kmgln}^{0(-)} &= \Lambda_{kmgln}^0 - \Gamma_{kmgln}^0 \omega_m \omega_k; \\
 \mu_{kmgln}^{0(+)} &= \Lambda_{kmgln}^0 + \Gamma_{kmgln}^0 \omega_m \omega_k; \\
 \Lambda_{kmgln}^0 &= (n+1) \chi_n \omega_k^2 K_{gln} (\alpha_{kmg} (k-2)/k \\
 & + (k-1)(n-k+2) K_{kmg}/2) \\
 & + \rho_{(e)} n \chi_n \omega_k^2 \left( ((g+1-n) K_{gln} - \alpha_{gln}/(g+1)) ((k+2) K_{kmg} \right. \\
 & - \alpha_{kmg}/(k+1)) + ((k+3) \alpha_{kmg}/(k+1) \\
 & + (k+2)(n-2-k) K_{kmg}/2) K_{gln} \Big) + n(n+1) \chi_n \\
 & \times \left( W K_{gln} ((k^3 - 2(m+1)(m+2) - k^2(n-9)) \right. \\
 & - k(2m(m+3) + 3n - 22)) K_{kmg} - 2(k+2) \alpha_{kmg} \Big) / 2 \\
 & - ((3k(k+1) - 2) K_{kmg} - l(l+1) \alpha_{kmg}/2) K_{gln} \\
 & \left. + \alpha_{kmg} \left( l^2 K_{lgn} - \sum_{\nu=1}^{[l/2]} (2l - 4\nu + 1) K_{l-2\nu, g, n} \right) \right);
 \end{aligned}$$

$$\begin{aligned}
\Lambda_{kmgln}^1 &= n(n+1)\chi_n W k K_{kmg} \\
&\times ((g+1)(l-2-g+n)K_{lgn} + \alpha_{lgn}) \\
&+ (n+1)\chi_n \left( (\alpha_{lgn}/g + (n+1-g)K_{lgn}) \right. \\
&\times \left. (\alpha_{kmg}/m + (1-m)K_{kmg}) \right) \omega_m^2; \\
\Gamma_{kmgln}^0 &= (n+1)\chi_n \left( (k-2)K_{gln} \left( (k-1)K_{kmg}/2 - \alpha_{kmg}/k \right) \right. \\
&+ K_{mgn} \left( (k-1)K_{klg}/2 - \alpha_{klg}/k \right) \\
&- n(k-1)K_{gln} (\alpha_{kmg}/(mk) + K_{kmg}) \\
&- \rho_{(e)} n \chi_n \left( ((g+2)K_{mgn} - \alpha_{mgn}/(g+1)) \left( (k+2)K_{klg} \right. \right. \\
&- \left. \left. \alpha_{klg}/(k+1) \right) + (k+3)K_{mgn} (\alpha_{klg}/(k+1)) \right. \\
&- \left. (k-2)K_{klg}/2 \right) + \left( (g+2)K_{gln} - \alpha_{gln}/(g+1) \right) \\
&\times \left( (k+2)K_{kmg} - \alpha_{kmg}/(k+1) \right) \\
&+ (k+3)K_{gln} (\alpha_{kmg}/(k+1) - (k+2)K_{kmg}/2) \\
&- (n+1) \left( (\alpha_{mgn}/((m+1)(g+1)) + K_{mgn}) \left( (k+2)K_{klg} \right. \right. \\
&- \left. \left. \alpha_{klg}/(k+1) \right) + K_{gln} \left( (k+2)K_{kmg} - \alpha_{kmg}/(k+1) \right) \right. \\
&- \left. \left( \alpha_{kmg}/((k+1)(m+1)) + K_{kmg} \right) (k+2)K_{gln} \right); \\
\Gamma_{kmgln}^1 &= (n+1)\chi_n \left( (\alpha_{lgn}/g + (n+1-g)K_{lgn}) \right. \\
&\times \left( (m-1)K_{kmg} - \alpha_{kmg}/m \right) + \left( (k+n)\alpha_{kgn}/(gk) \right. \\
&+ \left. (n+1-g)K_{kgn} \right) \left( (m-1)K_{mlg} - \alpha_{mlg}/m \right); \\
\Pi_{kmm}^0 &= (n+1)\chi_n \left( nK_{kmm} \left( 2((k-1)(k+2) + m(m+1)) \right. \right. \\
&+ \left. \left. W(k-1)(n-5-k) \right) + (\alpha_{kmm}/k + (n+1-k)K_{kmm}) \omega_k^2 \right) \\
&- \rho_{(e)} n \chi_n \omega_k^2 \left( (n-1-k)K_{kmm} + \alpha_{kmm}/(k+1) \right) \\
&+ n(n+1)\chi_n W \left( (m+1)(k+n-m-2)K_{kmm} + \alpha_{kmm} \right); \\
\Pi_{kmm}^1 &= (n+1)\chi_n \left( (k+m-n-2)K_{kmm} \right. \\
&- (n+k+m)\alpha_{kmm}/(mk) \\
&+ n\rho_{(e)}\chi_n \left( (n-k-m-3)K_{kmm} \right. \\
&+ \left. (k+m+n+3)\alpha_{kmm}/((m+1)(k+1)) \right); \\
\Pi_{kmm}^2 &= (n+1)\chi_n \left( (m-n-1)K_{kmm} - \alpha_{kmm}/m \right) \\
&+ n\rho_{(e)}\chi_n \left( (n-m-1)K_{kmm} + \alpha_{kmm}/(m+1) \right); \\
\Xi_n^0 &= \omega_n^2 + n(n+1)\chi_n(n-1)(4+2n-5W); \\
\Xi_n^1 &= ((n+1)(n-1) - 3n\rho_{(e)})\chi_n; \quad \Xi_n^2 = \rho_{(e)}n(n-1)\chi_n;
\end{aligned}$$

$$\begin{aligned}
\psi_{kml}^{(+)(+)} &= \omega_k + \omega_m + \omega_l; & \psi_{kml}^{(+)(-)} &= \omega_k + \omega_m - \omega_l; \\
\psi_{kml}^{(-)(-)} &= \omega_k - \omega_m - \omega_l; & D_{lm}^{kn} &= 1 - \delta_{lm}\delta_{kn}; \\
\lambda_{mln}^{(\pm)} &= (\gamma_{mln} \pm \omega_m \omega_l \eta_{mln}) / (\omega_n^2 - (\omega_m \pm \omega_l)^2); \\
\alpha_{mln} &= -C_{m0l0}^{n0} C_{m(-1)l1}^{n0} \sqrt{m(m+1)l(l+1)}; \\
\gamma_{mln} &= (n+1)\chi_n K_{mln} \left( \omega_m^2 (n-m+1) \right. \\
&- \rho_{(e)} n (n-m-1)/(n+1) + 2n(l(l+1)-1) \\
&+ (l(m+1) - m(2m-2n+7) + 3)nW/2) + (n+1)\chi_n \alpha_{mln} \\
&\times \left( (1/m - n\rho_{(e)}) / ((n+1)(m+1)) \omega_m^2 + nW/2 \right); \\
\eta_{mln} &= (n+1)\chi_n K_{mln} \left( n/2 - m + 1 \right. \\
&+ \rho_{(e)} n (2m+3-n) / (2(n+1)) \\
&+ (n+1)\chi_n \alpha_{mln} \left( (1+n/(2l)) / m \right. \\
&- \left. n\rho_{(e)} (n+2l+3) / (2(m+1)(l+1)(n+1)) \right); \\
\chi_n &= (1+n(1+\rho_{(e)}))^{-1}; \\
\omega_n &= \sqrt{\chi_n(n-1)n(n+1)(n+2-W)}.
\end{aligned}$$

Работа выполнена при поддержке РФФИ (грант № 03-01-00760).

## Список литературы

- [1] Григорьев А.И. // ЖТФ. 2000. Т. 70. Вып. 5. С. 22–27.
- [2] Григорьев А.И., Ширяева С.О. // Изв. РАН. МЖГ. 1994. № 3. С. 3–22.
- [3] Корамыслов В.А., Ширяева С.О., Григорьев А.И. // ЖТФ. 2003. Т. 73. Вып. 9. С. 44–51.
- [4] Гаибов А.Р., Григорьев А.И. // ЖТФ. 2003. Т. 73. Вып. 7. С. 13–20.
- [5] Жаров А.Н., Григорьев А.И., Ширяева С.О. // Письма в ЖТФ. 2003. Т. 29. Вып. 9. С. 75–82.
- [6] Жаров А.Н., Ширяева С.О., Григорьев А.И. // ЖТФ. 2003. Т. 73. Вып. 6.
- [7] Жаров А.Н., Ширяева С.О., Григорьев А.И. // ЖТФ. 2003. Т. 73. Вып. 12. С. 9–19.
- [8] Ширяева С.О., Григорьев А.И., Корамыслов В.А., Жаров А.Н. // ЖТФ. 2003. Т. 73. Вып. 9. С. 60–63.
- [9] Найфе А.Х. Методы возмущений. М.: Мир, 1976. 455 с.
- [10] Рид Р., Шервуд Т. Свойства газов и жидкостей. Л.: Химия, 1971. 702 с.